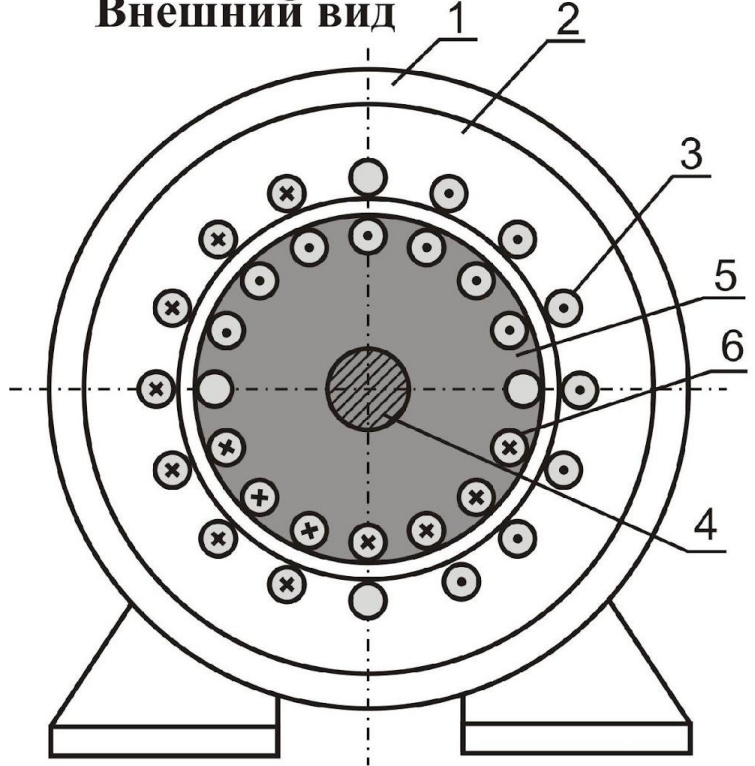


Асинхронные двигатели, устройство двигателя

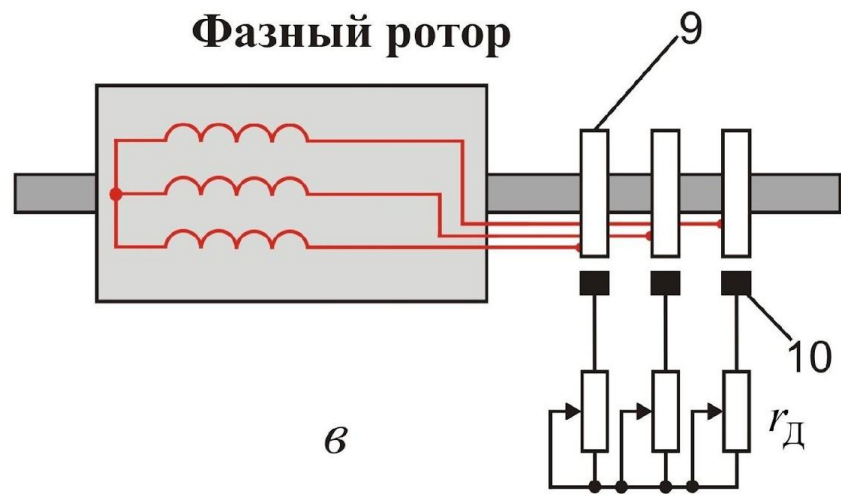
1

Внешний вид



a

Фазный ротор



b



b

1 - корпус

2 - сердечник статора

3 - обмотка статора

4 - вал

5 - сердечник ротора

6 - обмотка ротора

7 - стержни

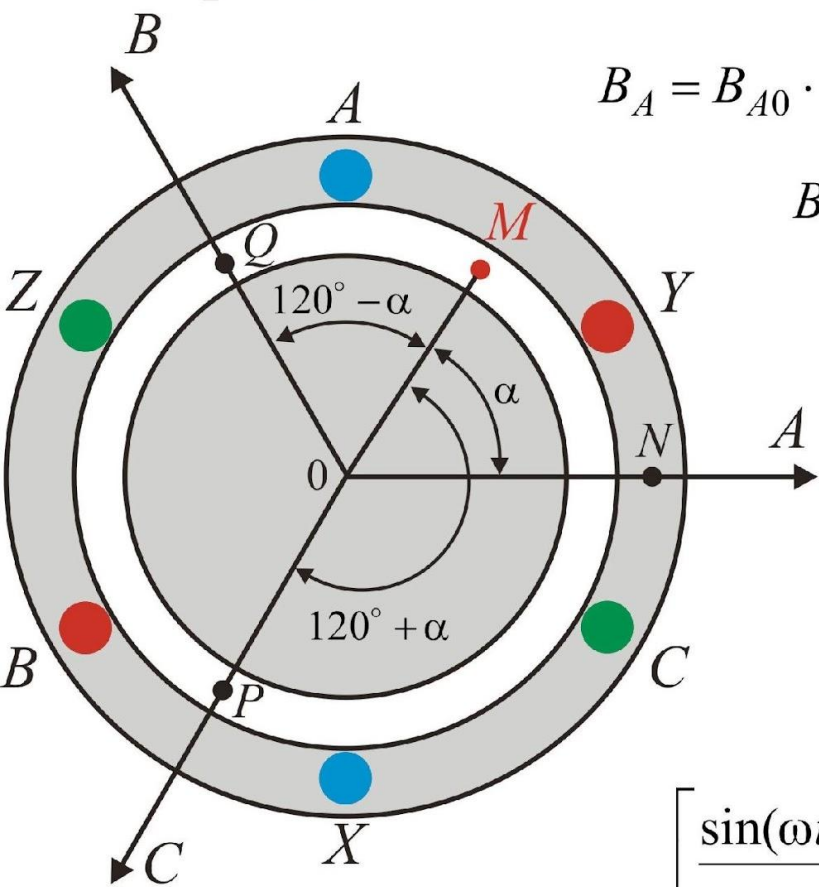
8 - замыкающие кольца

9 - контактные кольца

10 - щетки

Вращающееся магнитное поле и принцип действия двигателя

2



$$B_A = B_{A0} \cdot \cos \alpha, \quad B_B = B_{B0} \cdot \cos(120^\circ - \alpha), \quad B_C = B_{C0} \cdot \cos(120^\circ + \alpha),$$

$$B = B_{A0} \cdot \cos \alpha + B_{B0} \cdot \cos(120^\circ - \alpha) + B_{C0} \cdot \cos(120^\circ + \alpha).$$

$$B_{A0} = B_m \cdot \sin \omega t, \quad B_{B0} = B_m \cdot \sin(\omega t - 120^\circ),$$

$$B_{C0} = B_m \cdot \sin(\omega t + 120^\circ).$$

$$B = B_m [\sin \omega t \cos \alpha + \sin(\omega t - 120^\circ) \cos(120^\circ - \alpha) + \sin(\omega t + 120^\circ) \cos(120^\circ + \alpha)].$$

$$\sin A \cdot \cos B = \frac{\sin(A+B) + \sin(A-B)}{2},$$

$$B = B_m \left[\frac{\sin(\omega t + \alpha) + \sin(\omega t - \alpha)}{2} + \frac{\sin(\omega t - \alpha) + \sin(\omega t + \alpha - 240^\circ)}{2} + \frac{\sin(\omega t + \alpha + 240^\circ) + \sin(\omega t - \alpha)}{2} \right].$$

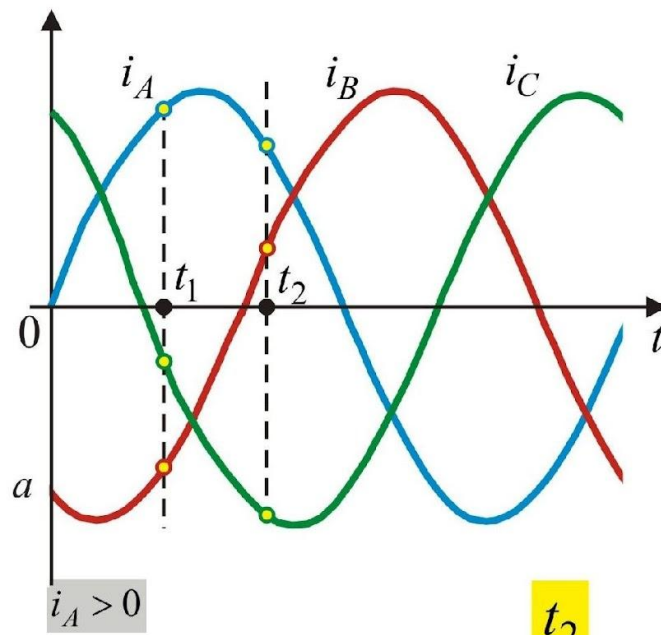
$$\sin(\omega t + \alpha) + \sin(\omega t + \alpha - 240^\circ) + \sin(\omega t + \alpha + 240^\circ) = 0$$

$$B = \frac{3}{2} B_m \sin(\omega t - \alpha).$$

$$\sin(\omega t - \alpha) = +1 \Rightarrow \omega t - \alpha = \frac{\pi}{2} \Rightarrow \alpha = \omega t - \frac{\pi}{2}.$$

Вращающееся магнитное поле и принцип действия двигателя

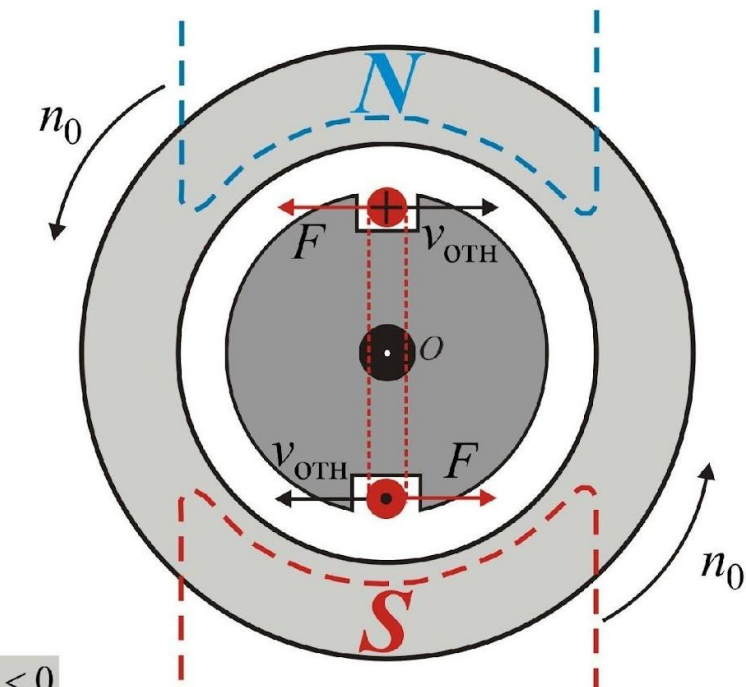
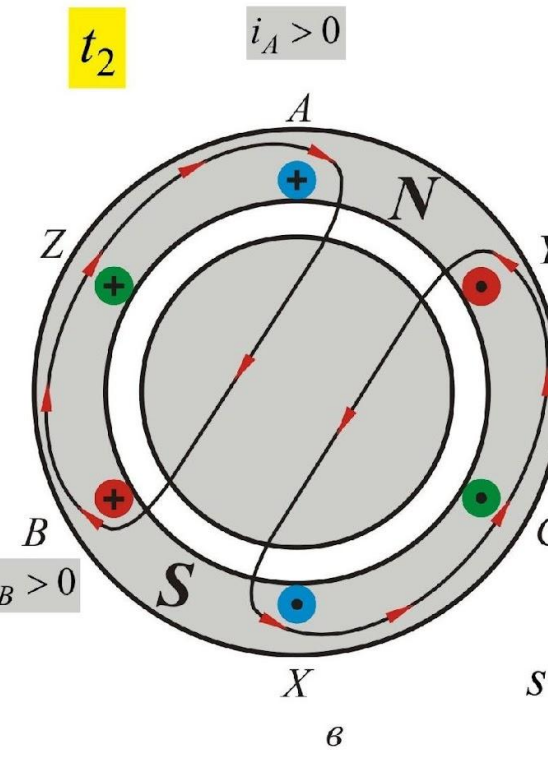
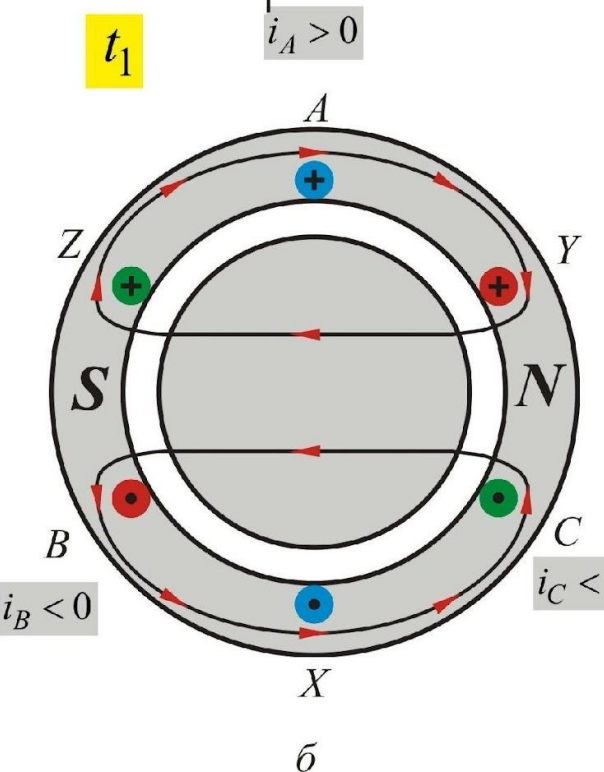
3



$$i_A(t_1) > 0, i_B(t_1) < 0, i_C(t_1) < 0.$$

$$i_A(t_2) > 0, i_B(t_2) > 0, i_C(t_2) < 0.$$

$$\omega_0 = \frac{\omega}{p} \quad \omega = 2\pi f = \frac{\pi n}{30} \quad n_0 = \frac{60 \cdot f}{p},$$



$$s = \frac{\omega_0 - \omega}{\omega_0} = \frac{n_0 - n}{n_0}. \quad n = n_0 \cdot (1 - s).$$

Обмоточный коэффициент. ЭДС статора и ротора

$$E < E' \cdot w \quad k = 0,92 \div 0,96. \quad E' = 4,44 \cdot f_1 \cdot \Phi. \quad E_1 = E' \cdot k_1 \cdot w_1 = 4,44 \cdot f_1 \cdot k_1 \cdot w_1 \cdot \Phi.$$

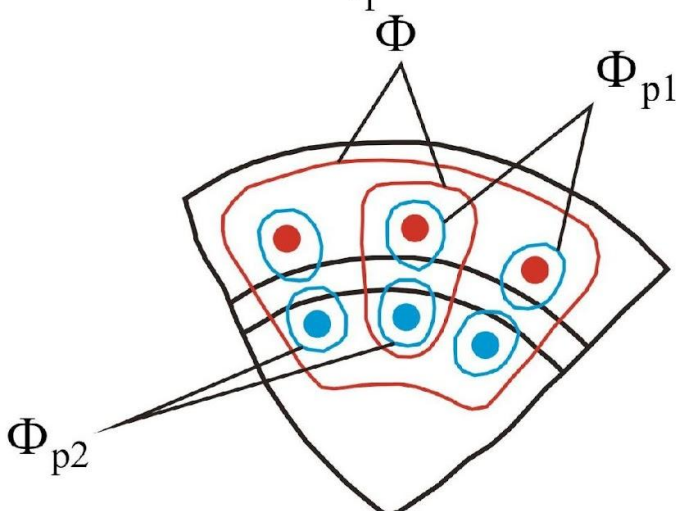
$$f_1 = \frac{pn_0}{60}. \quad E_{2\text{H}} = 4,44 \cdot f_1 \cdot k_2 \cdot w_2 \cdot \Phi. \quad f_2 = \frac{p(n_0 - n)}{60}. \quad f_2 = \frac{p(n_0 - n)}{60} \cdot \frac{n_0}{n_0} = \frac{pn_0}{60} \cdot \frac{(n_0 - n)}{n_0},$$

$$f_2 = f_1 \cdot s; \quad E_2 = 4,44 \cdot f_2 \cdot k_2 \cdot w_2 \cdot \Phi = 4,44 \cdot f_1 \cdot s \cdot k_2 \cdot w_2 \cdot \Phi = E_{2\text{H}} \cdot s.$$

Магнитные потоки асинхронной машины

$$-\dot{E}_{\text{p1}} = \dot{I}_1 \cdot jx_{\text{p1}} = \dot{I}_1 \cdot j\omega \cdot L_{\text{p1}}; \quad -\dot{E}_{\text{p2}} = \dot{I}_2 \cdot jx_{\text{p2}} = \dot{I}_1 \cdot j\omega_2 \cdot L_{\text{p2}} = \dot{I}_1 \cdot j\omega s \cdot L_{\text{p2}}.$$

$$\dot{I}_1 = \frac{\dot{U}_1 + \dot{E}_1 + \dot{E}_{\text{p1}}}{r_1}, \quad \dot{I}_1 \cdot (r_1 + jx_{\text{p1}}) = \dot{I}_1 \cdot Z_1, \quad Z_1 = r_1 + jx_{\text{p1}} \quad \dot{U}_1 = \dot{I}_1 \cdot Z_1 + (-\dot{E}_1)$$



$$U_1 \approx E_1, \quad E_1 = \text{const} \cdot \Phi, \quad U_1 = \text{const} \cdot \Phi.$$

$$m_1 \cdot w_1 \cdot k_1 \cdot \dot{I}_1 + m_2 \cdot w_2 \cdot k_2 \cdot \dot{I}_2 = m_1 \cdot w_1 \cdot k_1 \cdot \dot{I}_0.$$

$$\dot{I}_1 = \dot{I}'_2 + \dot{I}_0. \quad \dot{I}'_2 = -\dot{I}_2 \frac{m_2 \cdot w_2 \cdot k_2}{m_1 \cdot w_1 \cdot k_1}$$

Ток ротора

$$r_2 \quad x_{p2} = \omega_2 \cdot L_{p2} = \omega s \cdot L_{p2}$$

$$z_2 = \sqrt{r_2^2 + (\omega s L_{p2})^2}.$$

$$I_2 = \frac{E_2}{z_2} = \frac{E_2}{\sqrt{r_2^2 + (\omega s L_{p2})^2}} = \frac{E_{2H} \cdot s}{\sqrt{r_2^2 + (\omega s L_{p2})^2}} = \frac{E_{2H}}{\sqrt{\frac{r_2^2}{s^2} + (\omega L_{p2})^2}}.$$

Векторная диаграмма при неподвижном роторе

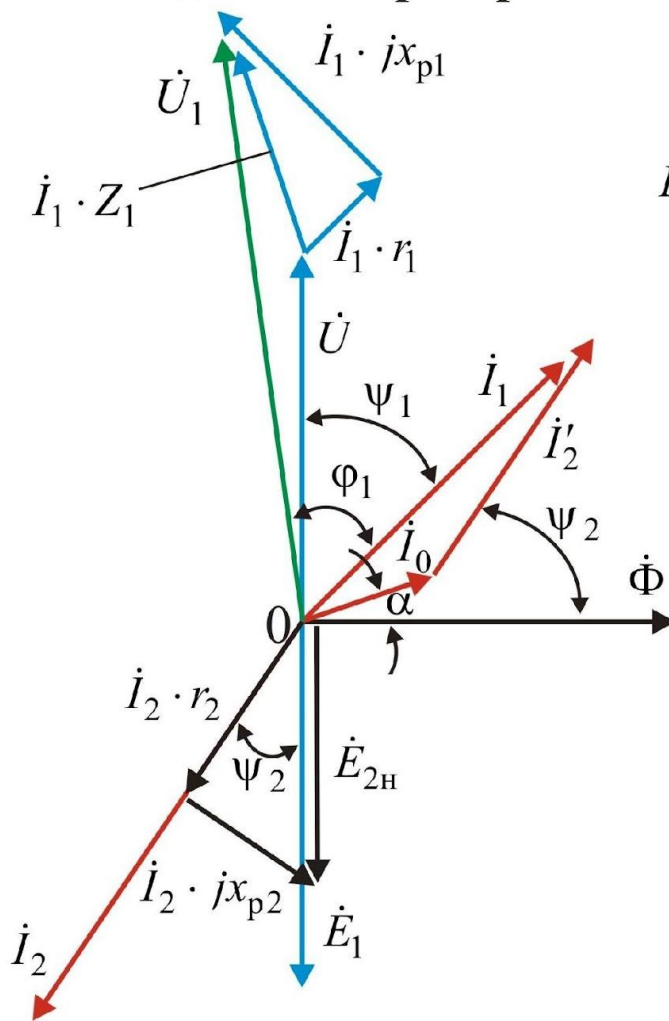
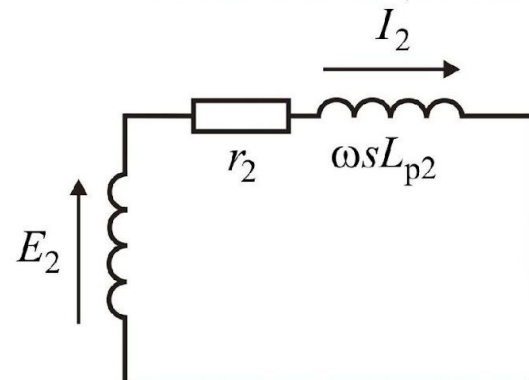
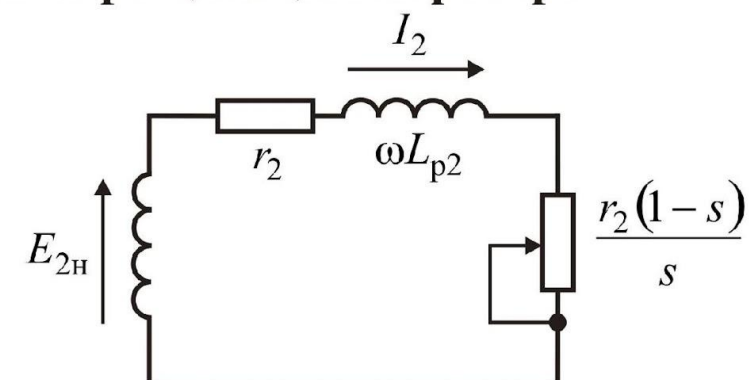


Схема замещения фазы вращающегося ротора



a - реальная



б - эквивалентная

$$\psi_2 = \arccos \frac{r_2}{\sqrt{r_2^2 + (\omega L_{p2})^2}}.$$

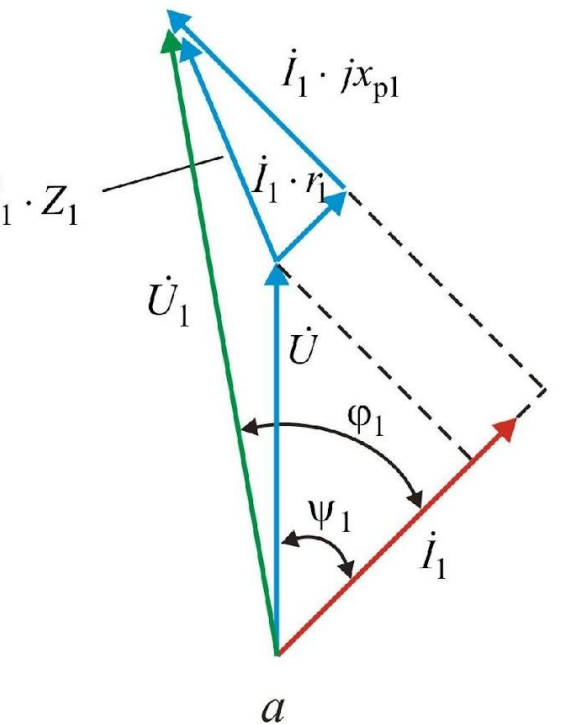
$$\dot{I}_1 = \dot{I}'_2 + \dot{I}_0.$$

$$\dot{U}_1 = (-\dot{E}_1) + \dot{I}_1 \cdot Z_1$$

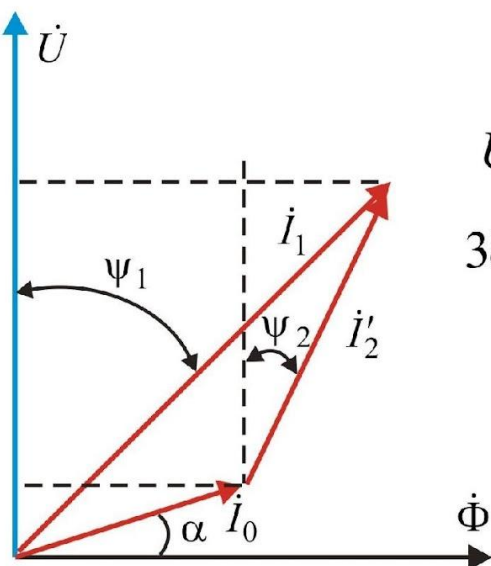
$$\frac{r_2}{s} = r_2 + r \Rightarrow r = \frac{r_2(1-s)}{s}.$$

$$\dot{E}_{2H} \quad \dot{I}_2 j \omega L_{p2} \quad \dot{I}_2 \frac{r_2}{s}.$$

Энергетический баланс в асинхронном двигателе



a



б

$$U_1 \cos\phi_1 = I_1 r_1 + U \cos\psi_1. \quad U_1 I_1 \cos\phi_1 = I_1^2 r_1 + U I_1 \cos\psi_1.$$

$$I_1 \cos\psi_1 = I_0 \sin\alpha + I_2' \cos\psi_2,$$

$$U_1 I_1 \cos\phi_1 = I_1^2 r_1 + U I_0 \sin\alpha + U I_2' \cos\psi_2.$$

$$3U_1 I_1 \cos\phi_1 = 3I_1^2 r_1 + 3U I_0 \sin\alpha + 3U I_2' \cos\psi_2.$$

$$P_1 = 3U_1 I_1 \cos\phi_1 \quad P_{M1} = 3I_1^2 r_1$$

$$P_{CT1} = 3U I_0 \sin\alpha \quad P_{EM} = 3U I_2' \cos\psi_2$$

$$P_1 = P_{M1} + P_{CT1} + P_{EM}.$$

$$I_2' = -I_2 \frac{m_2 \cdot w_2 \cdot k_2}{3 \cdot w_1 \cdot k_1}, \quad U = -E_1 = -E_{2H} \frac{w_1 \cdot k_1}{w_2 \cdot k_2},$$

$$P_{EM} = 3U I_2' \cos\psi_2 = 3 \cdot \left(-E_{2H} \frac{w_1 \cdot k_1}{w_2 \cdot k_2} \right) \cdot \left(-I_2 \frac{m_2 \cdot w_2 \cdot k_2}{3 \cdot w_1 \cdot k_1} \right) \cdot \cos\psi_2 = m_2 E_{2H} I_2 \cos\psi_2.$$

$$E_{2H} = \frac{E_2}{s}, \quad E_2 \cos\psi_2 = I_2 r_2 \quad 3U_1 I_1 \cos\phi_1 = 3I_1^2 r_1 + 3U I_0 \sin\alpha + \frac{m_2}{s} I_2^2 r_2. \quad P_{EM} = \frac{m_2}{s} I_2^2 r_2$$

$$P_{EM} = \Delta P_2 + P_{MEX}. \quad \Delta P_2 = P_{CT2} + P_{M2} \approx P_{M2} = m_2 I_2^2 r_2. \quad f_2 = f \cdot s$$

$$P_{MEX} = P_{EM} - \Delta P_2 \approx P_{EM} - P_{M2} = \frac{m_2}{s} I_2^2 r_2 - m_2 I_2^2 r_2 = m_2 I_2^2 \frac{r_2(1-s)}{s} \quad r = \frac{r_2(1-s)}{s} \quad P_{MEX} = m_2 I_2^2 r,$$

Вращающий момент асинхронного двигателя

$$\omega_n = \frac{\omega}{p}, \quad \omega_p = \omega_n(1-s) = \frac{\omega(1-s)}{p}. \quad P_{\text{МЕХ}} = \frac{\omega(1-s)}{p} M = m_2 I_2^2 \frac{r_2(1-s)}{s} \Rightarrow M = \frac{m_2 p}{\omega s} I_2^2 r_2$$

$$I_2 r_2 = E_2 \cos \psi_2 = E_{2H} s \cos \psi_2, \quad M = \frac{m_2 p}{\omega s} I_2^2 r_2 = \frac{m_2 p}{\omega s} I_2 \cdot (I_2 r_2) = \frac{m_2 p}{2\pi f s} I_2 \cdot E_{2H} s \cos \psi_2 =$$

$$E_{2H} = 4,44 f w_2 k_2 \Phi, \quad = \frac{m_2 p}{2\pi f} I_2 \cdot E_{2H} \cos \psi_2 = const \cdot \frac{I_2 \cdot E_{2H} \cos \psi_2}{f}.$$

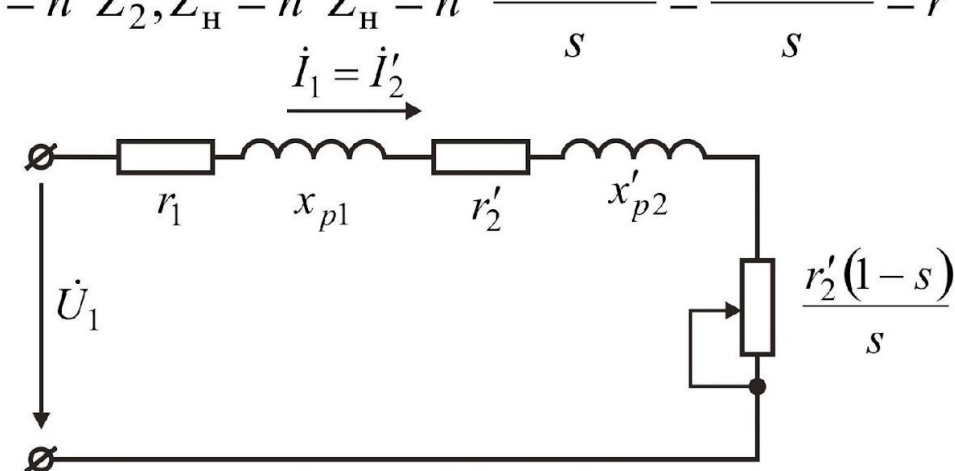
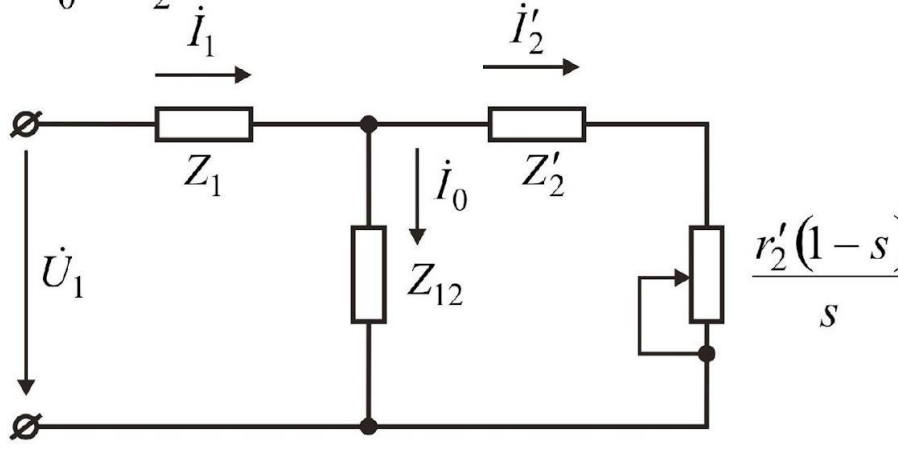
$$M = const \cdot \Phi \cdot I_2 \cdot \cos \psi_2.$$

Схема замещения асинхронного двигателя

$$\dot{U}_1 = I_1 \cdot Z_1 + I'_2 \cdot Z'_2 + I'_2 \cdot Z'_{H}; \quad Z_H = r = \frac{r_2(1-s)}{s} \quad Z_1 = r_1 + j\omega L_{p1} = r_1 + jx_{p1}$$

$$\dot{U}_1 = I_1 \cdot Z_1 + I_0 \cdot Z_{12}; \quad n = \frac{w_1 \cdot k_1}{w_2 \cdot k_2} \quad Z_2 = r_2 + j\omega L_{p2} = r_2 + jx_{p2}$$

$$I_1 = I_0 + I'_2. \quad Z'_2 = n^2 Z_2; Z'_H = n^2 Z_H = n^2 \frac{r_2(1-s)}{s} = \frac{r'_2(1-s)}{s} = r'$$



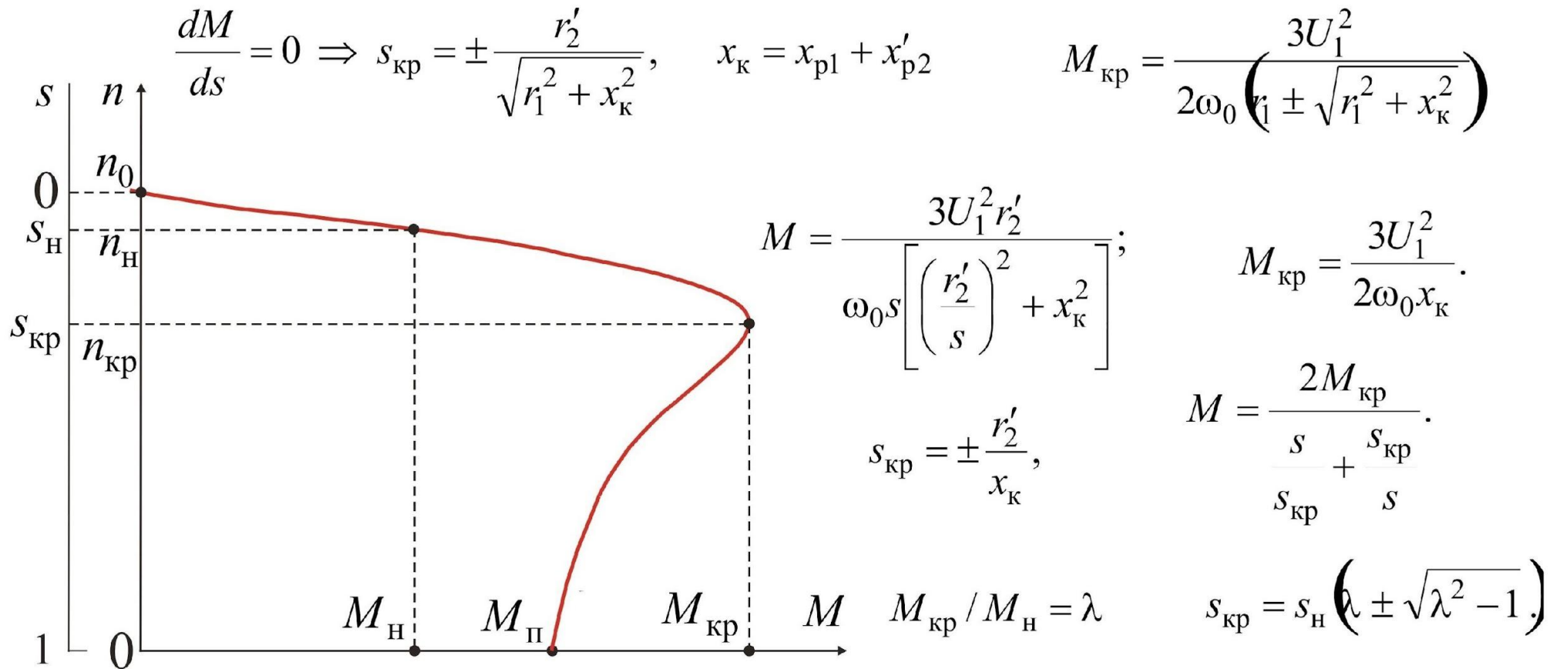
Механическая характеристика асинхронного двигателя

8

$$n = f(M) \quad s = f(M). \quad M = \frac{m_2 p}{\omega s} I_2^2 r_2 \quad m_2 = 3 \quad \frac{\omega}{p} = \omega_0 \quad M = \frac{3I_2^2 r_2}{\omega_0 s}. \quad \frac{r'_2}{s} = r'_2 + \frac{r'_2(1-s)}{s}.$$

$$I'_2 = \frac{U_1}{\sqrt{\left(r_1 + \frac{r'_2}{s} x_{p1}\right)^2 + (x_{p1} + x'_{p2})}},$$

$$M = \frac{3I_2^2 r_2}{\omega_0 s} = \frac{3I'_2 r'_2}{\omega_0 s} = \frac{3U_1^2 r'_2}{\omega_0 s \left[\left(r_1 + \frac{r'_2}{s}\right)^2 + (x_{p1} + x'_{p2}) \right]}.$$

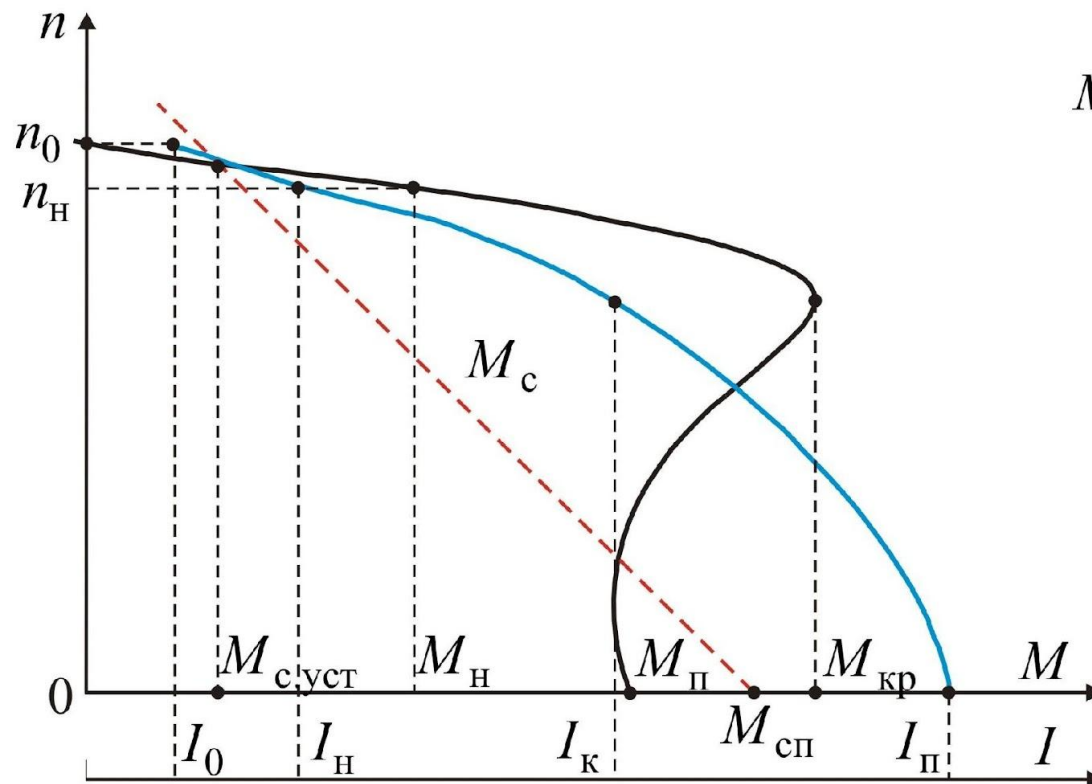
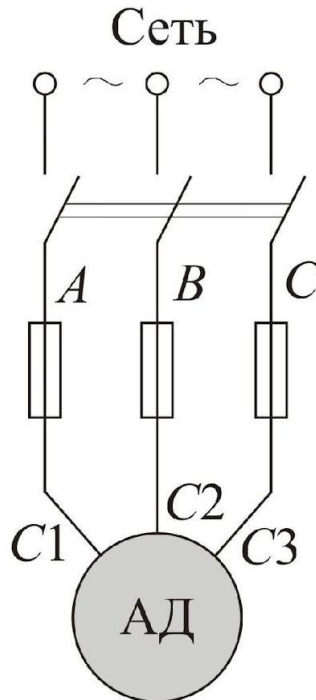


Паспортные данные асинхронных двигателей

$$U_{\text{H}} \quad P_{\text{H}} \quad n_{\text{H}} \quad I_{\text{H}} \quad \eta_{\text{H}} \quad \cos\varphi_{\text{H}} \quad M_{\text{кр}} / M_{\text{H}} = \lambda \quad M_{\Pi} / M_{\text{H}} \quad I_{\Pi} / I_{\text{H}}.$$

$$P_1 = \sqrt{3} \cdot U \cdot I \cdot \cos\varphi; \quad P_2 = \frac{M \cdot n}{9,55} = M \cdot \omega, \quad \eta = \frac{P_2}{P_1}.$$

Пуск асинхронных двигателей



$$M_{\Pi} = (1,2 \div 1,6)M_{\text{H}}$$

$$I_{\Pi} = (5 \div 7)I_{\text{H}}.$$

$$M_{\text{сп}} > M_{\Pi}$$

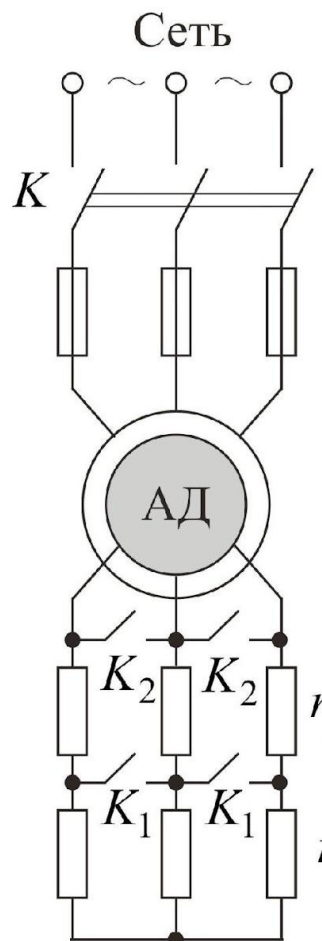
$$M_{\text{кр}} > M_{\text{c}}$$

$$M_{\text{c.уст}} < M_{\text{H}}.$$

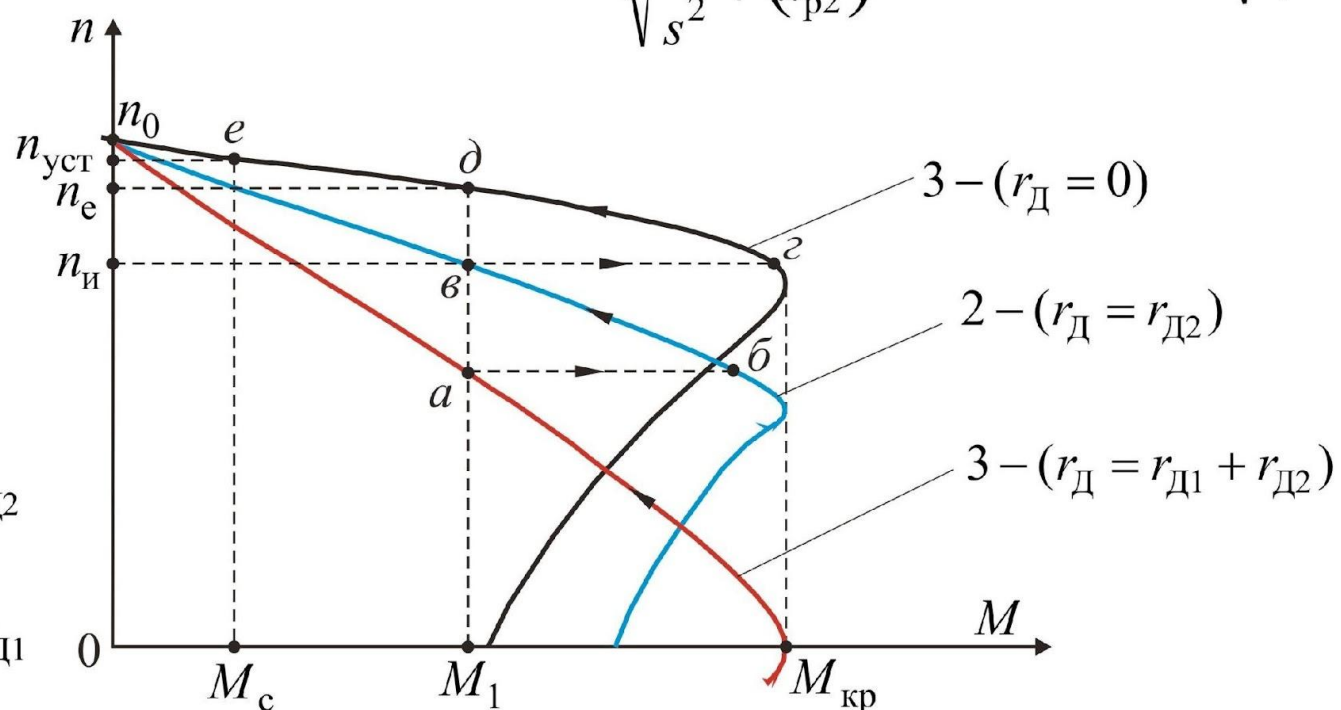
a

b

Пуск асинхронных двигателей с фазным ротором



$$r_{\text{Д}1} + r_{\text{Д}2}, \quad I_2 = \frac{E_{2\text{H}}}{\sqrt{\frac{r_2^2}{s^2} + (x_{p2})^2}}, \quad s = 1: \quad I_{2\Pi} = \frac{E_{2\text{H}}}{\sqrt{(r_2 + r_{\text{Д}})^2 + (x_{p2})^2}}.$$

*a*

$$M_{\Pi} = \frac{3U_1^2(r'_2 + r'_{\text{Д}})}{\omega_0 \left[(r'_2 + r'_{\text{Д}})^2 + x_{\kappa}^2 \right]}$$

б

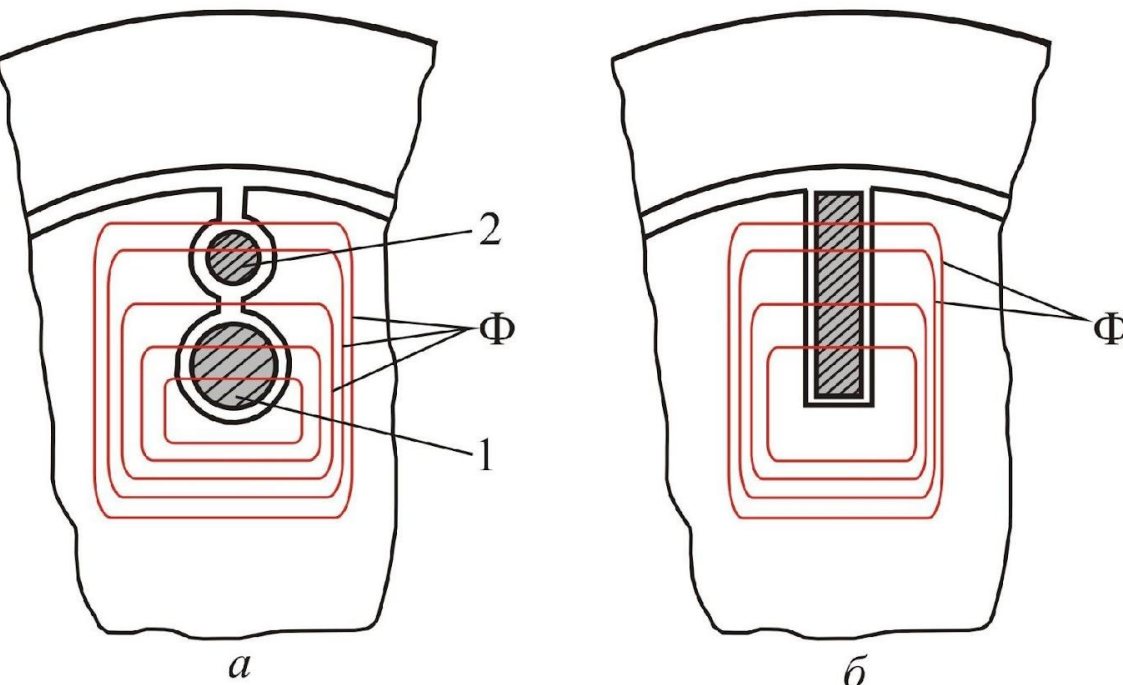
$$r'_2 + r' = x_{\kappa} :$$

$$M_{\Pi} = M_{\text{кр}} = \frac{3U_1^2}{2\omega_0 x_{\kappa}}.$$

$$r_{\text{Д}} = r_2 \left(\frac{s_i}{s_e} - 1 \right),$$

$$s_i = \frac{n_0 - n_i}{n_0}$$

$$s_e = \frac{n_0 - n_e}{n_0}$$



$$s = 1$$

$$x_{p2} = 2\pi f_2 L_{p2} = 2\pi f s L_{p2} = 2\pi f L_{p2},$$



$$n = n_0 \cdot (1 - s) = n_0 \cdot \frac{60 f_1}{p}.$$

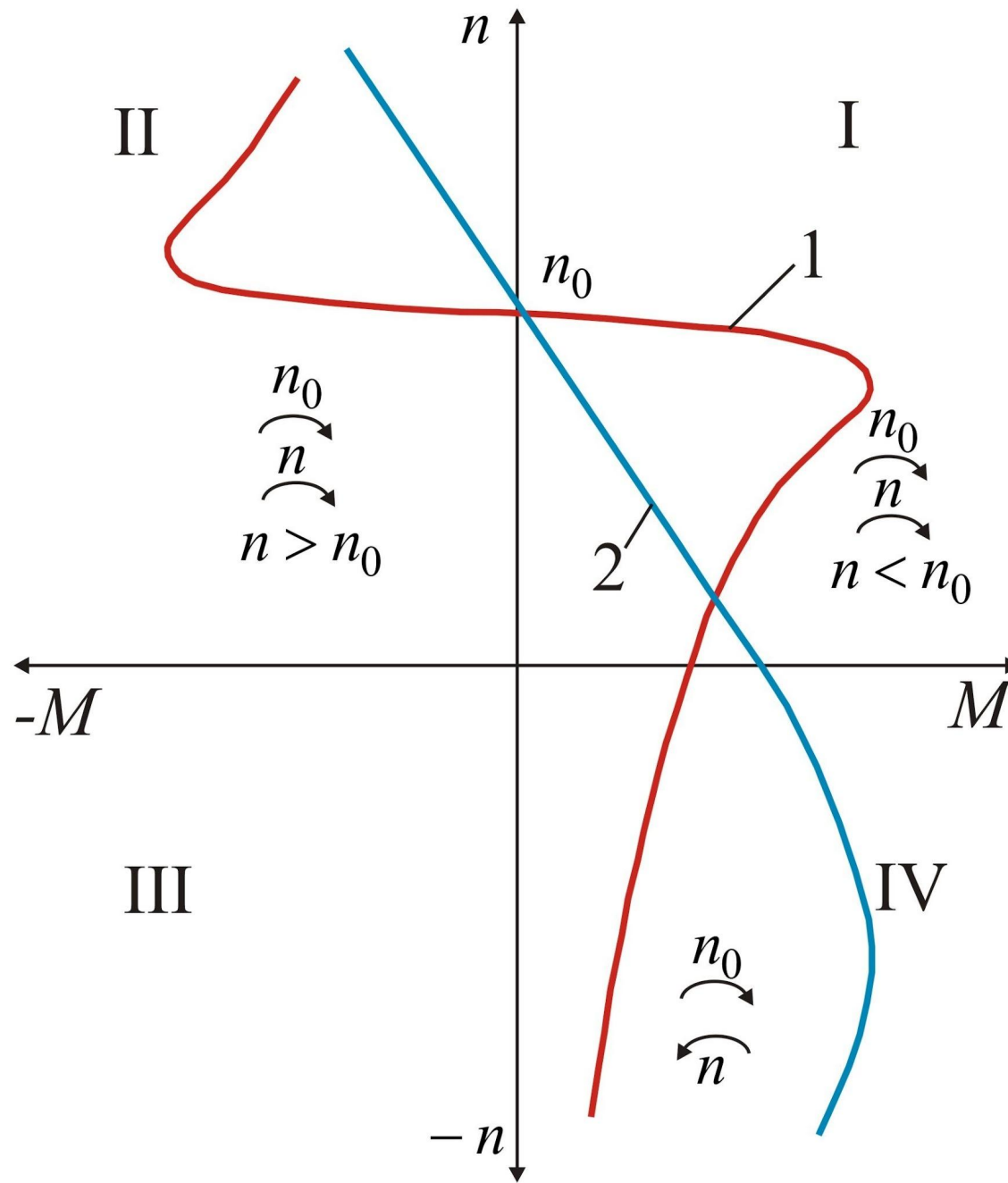
$$M = \text{const} \cdot \Phi \cdot I_2 \cdot \cos \psi_2,$$

$$U_1 \approx E_1 = 4,44 \cdot w_1 \cdot k_1 \cdot f_1 \cdot \Phi,$$

$$U/f = \text{const}$$

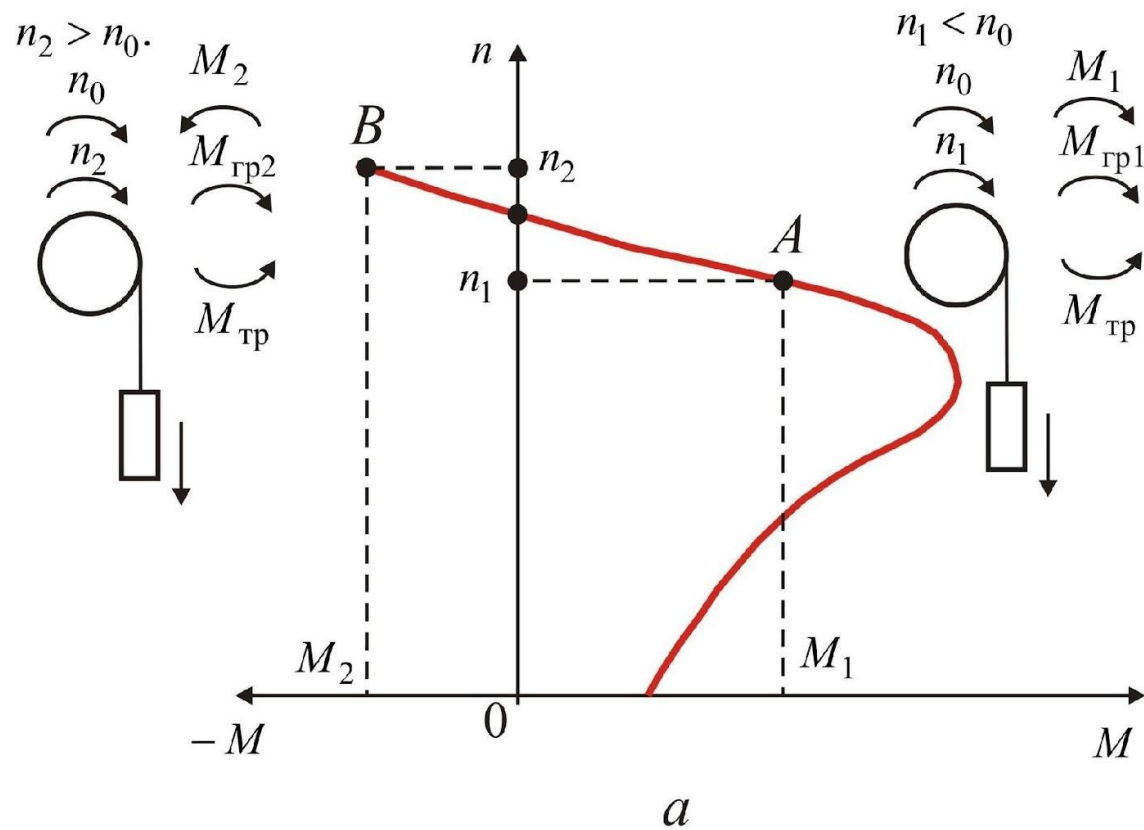
Тормозные режимы работы двигателей

12



Режим генераторного торможения

13

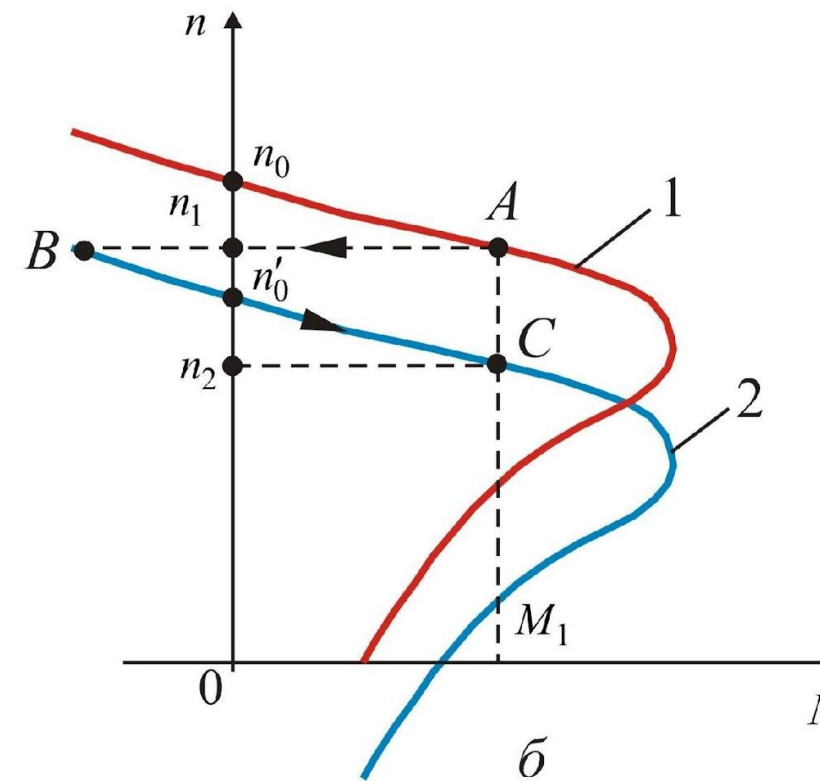


$$M_{\text{tp}} = M_{\text{rp}1} + M_1.$$

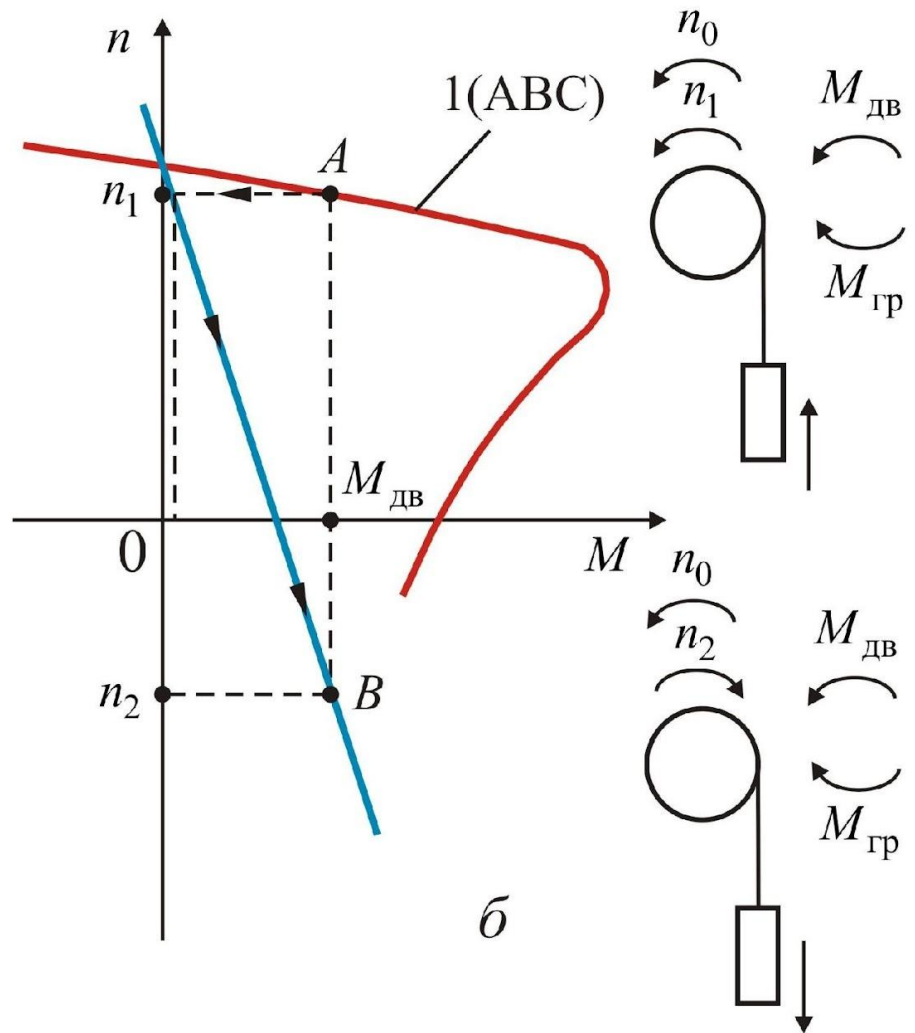
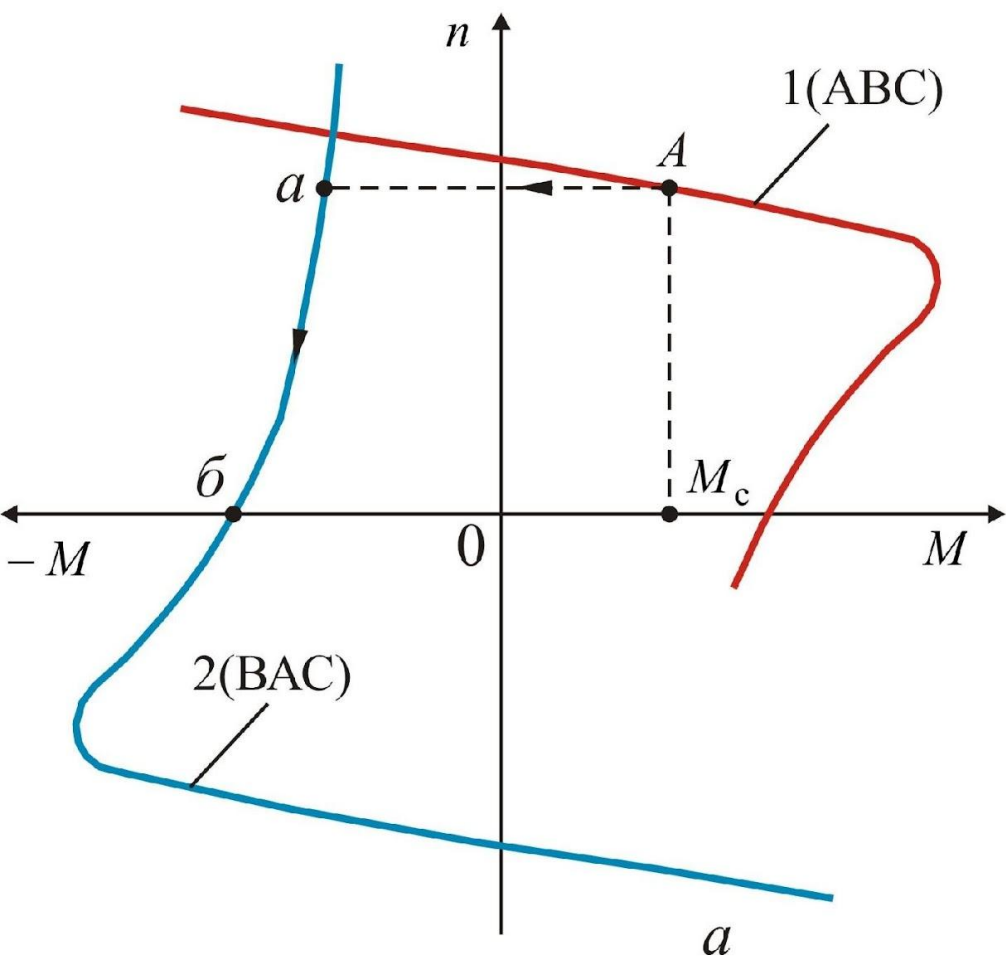
$$M_{\text{tp}} = \text{const.}$$

$$M_{\text{rp}2} > M_{\text{rp}1}.$$

$$M_2 = (M_{\text{tp}} - M_{\text{rp}2}) < 0$$



Торможение противовключением



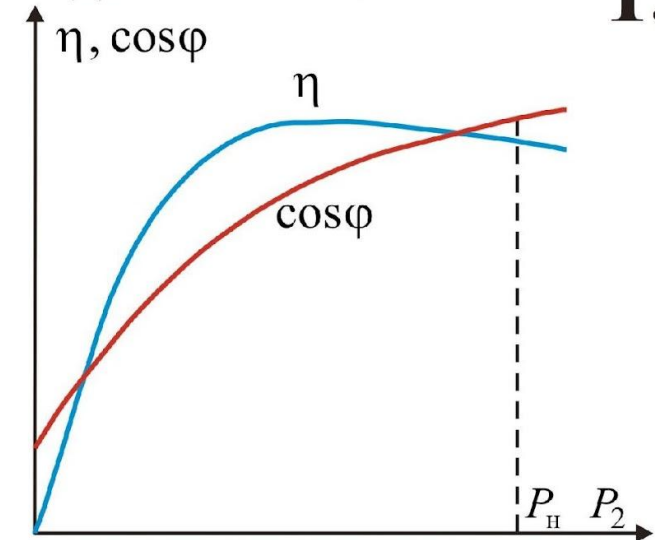
Энергетические показатели асинхронных двигателей

η
 $\cos\phi$

$$\eta(P_2) = \frac{P_2}{P_1} = \frac{P_2}{P_2 + \Delta P_c + \Delta P_{\text{обм}}};$$

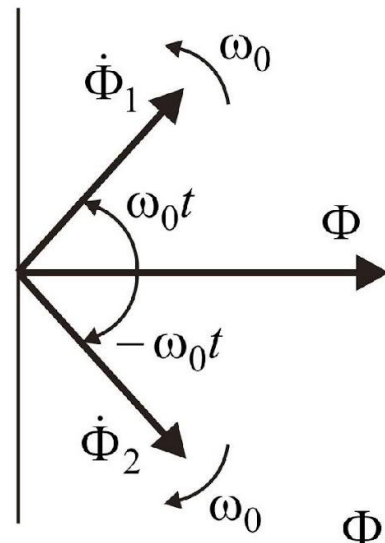
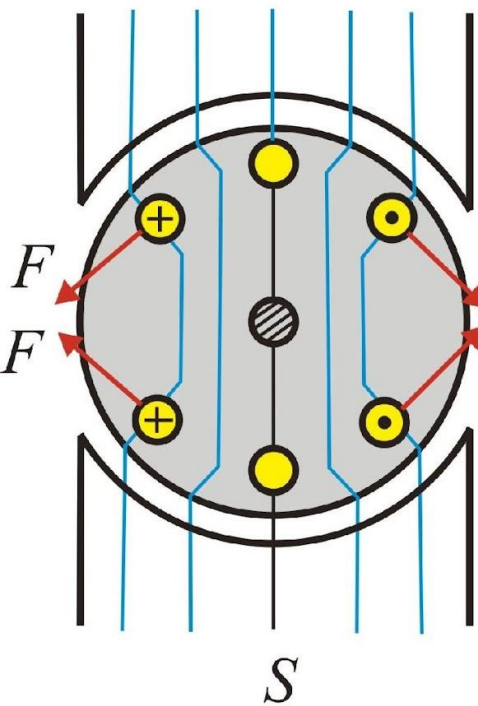
$$\cos\phi(P_2) = \frac{P_1}{S_1} = \frac{P_1}{\sqrt{P_1^2 + Q_1^2}} = \frac{P_2 + \Delta P_c + \Delta P_{\text{обм}}}{\sqrt{(P_2 + \Delta P_c + \Delta P_{\text{обм}})^2 + Q_1^2}}.$$

$$\Delta P_{\text{обм}} = 3I_1^2r_1 + 3I_2^2r_2$$



Однофазные асинхронные двигатели

N

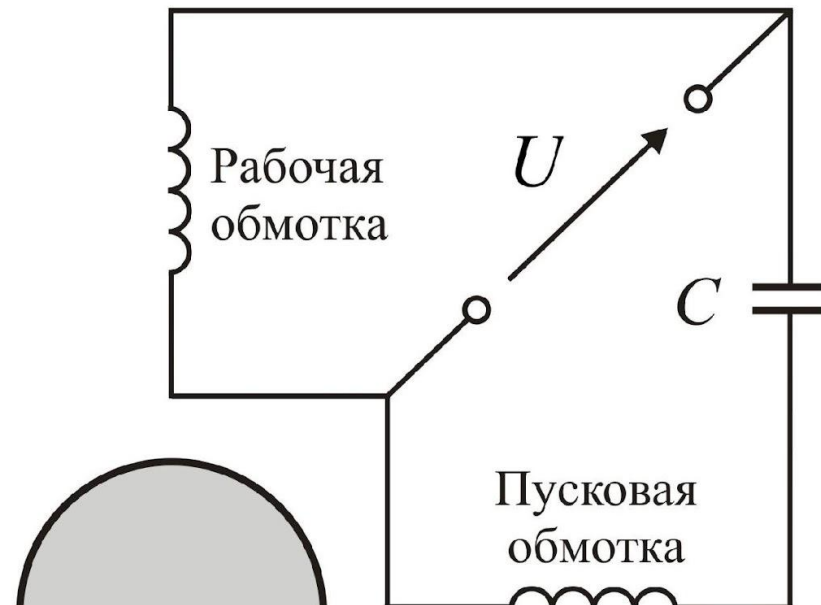
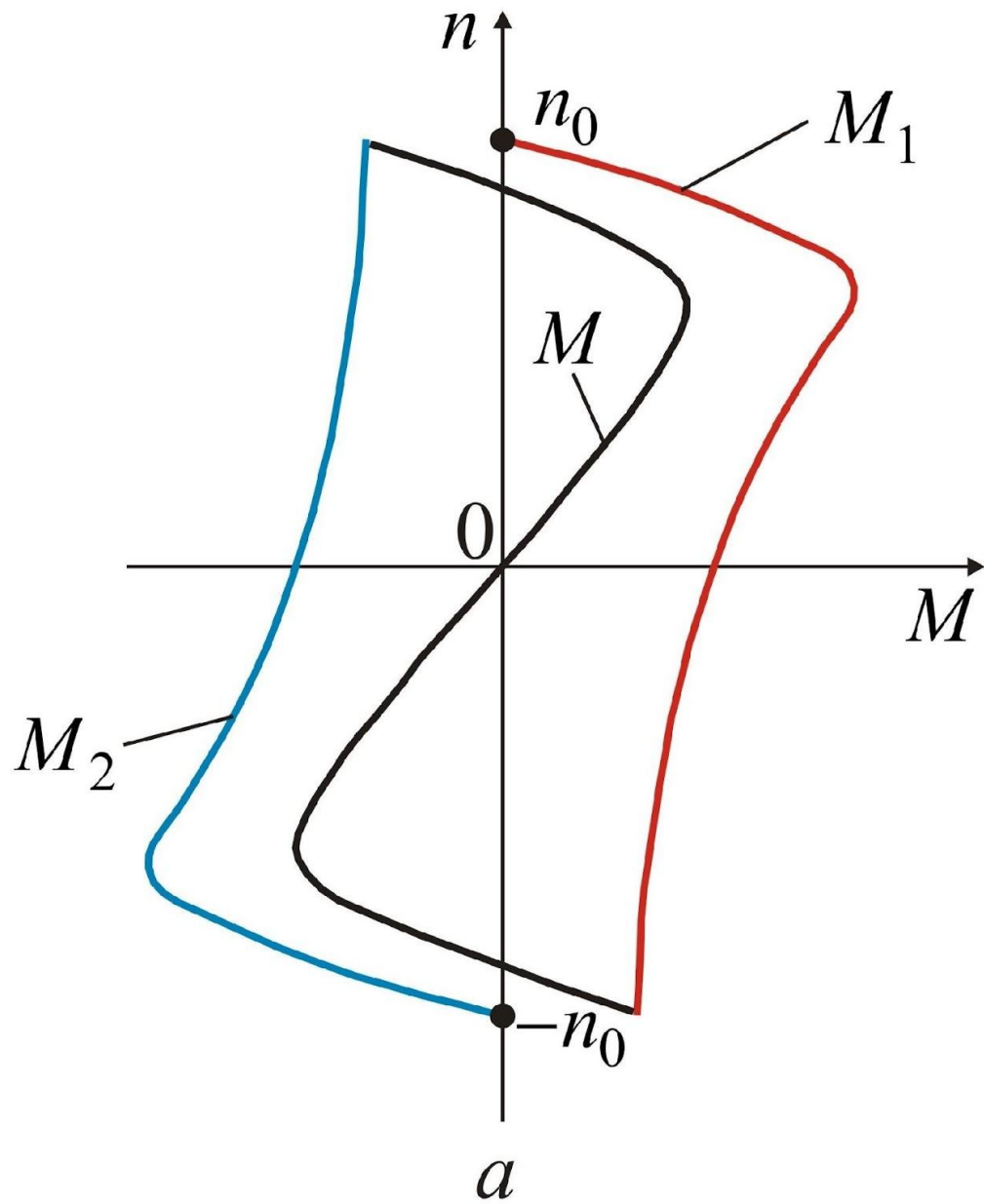


$$\Phi = \Phi_m \cdot \cos\omega_0 t.$$

$$e^{j\omega t} = \cos\omega t + j\sin\omega t; e^{-j\omega t} = \cos\omega t - j\sin\omega t \Rightarrow \\ \Rightarrow \cos\omega t = \frac{e^{j\omega t} + e^{-j\omega t}}{2}.$$

$$\Phi = \Phi_m \cdot \cos\omega_0 t = \frac{\Phi_m}{2} \cdot e^{j\omega_0 t} + \frac{\Phi_m}{2} \cdot e^{-j\omega_0 t} = \dot{\Phi}_1 + \dot{\Phi}_2,$$

Механическая характеристика однофазного двигателя



б